

中国科学院地球物理研究所

云雾的观测仪器和方法問題

张佑年等著

(内部資料·注意保存)

科学出版社

中国科学院地球物理研究所

云雾观测的仪器和方法问题

张佑年等著

(内部资料·注意保存)

科学出版社

1963

內容簡介

本书是中国科学院地球物理研究所研究云雾物理方面的同志，为了开展云雾降水微物理观测的研究工作，所设计制作的有关云雾微物理观测所必需的仪器的总结，并对观测方法的一些问题作了详细的讨论。

书中主要阐述了三用滴谱仪、总含水量仪、风速模量脉动仪和含水量探空仪等仪器的原理、结构和性能，并对仪器的误差作了详细的分析和讨论。此外，还介绍了自制气象雷达天线仰角控制器，并对滴谱油法取样的併合概率和用群滴法测定铜离子李塞根环的扩大倍数等问题作了讨论。

本书可供气象研究工作者、业务工作者和有关高等院校教育工作者参考。

云雾观测的仪器和方法问题

张佑年等著

*

科学出版社出版 (北京朝阳门大街 117 号)

北京市书刊出版业营业登记证字第 061 号

中国科学院印刷厂印刷 科学出版社发行

*

1963 年 5 月第一版 书号：2713 字数：87,000

1963 年 5 月第一次印刷 开本：787×1092 1/16

(京) 0001—1,300 印张：4

定价：0.60 元

目 录

前 言.....	(1)
三用滴譜儀的機械結構設計.....	張佑年 (2)
總含水量儀.....	陳哲明 趙燕曾 (16)
云霧中風速模量脈動儀.....	周明煜 陳章昭 (26)
含水量探空儀試制的初步報告.....	袁 簡 顧震潮 (33)
自制氣象雷達天綫仰角控制器.....	王學寬 (41)
滴譜油法取樣的并合概率.....	陳章昭 (46)
用羣滴方法測定銅離子李塞根環的擴大倍數.....	何珍珍 (52)

前　　言

在云雾物理变化过程中因子极其复杂，观测很不容易。同时，云雾物理方面还不象天气学那样，已有基本的定型仪器进行普遍的、经常性的观测。因此，对于云雾物理的实际情况就了解得很不够，这对于云雾物理这门学科的发展，也就有了一定的限制。

不但如此，又由于在云雾物理的观测工作中，定型的基本仪器还很少，目前在国内也还没有成批的生产，所以如果要从事云雾降水物理的研究工作，首先必须自行设计和制造一些云雾物理的观测仪器，才能全面地开展研究工作。

因此，云雾物理观测仪器的设计和制造，对于我们开展云雾物理的研究工作来说，是一个十分重要的问题。近几年来，我们初步制作了几种云雾物理方面的仪器。这些仪器有的已应用于实际工作，有的虽系初步试制，但经野外实际试测，工作性能和效果还是比较好的，所以这些设计和制作可以作为进一步工作的参考。为此，我们把现有的几种仪器的试制报告汇集在一起，印成本书。但由于我们的水平和条件的限制，在内容方面一定存在不少的问题，我们希望通过大家的指正，能使这些仪器得到进一步的改进。

三用滴譜仪的機械結構設計

張 佑 年

提 要

本文主要是總結了三用滴譜仪的機械結構設計問題。滴譜仪的取样是应用了慣性沉淀的原理，因此对仪器結構的設計，主要是使其能加速云雾質点达到必要的流速，以便利用其慣性在取样片上很好的沉淀。仪器除能进行云雾滴譜的觀測外，还能觀測云雾含水量和大气中的盐核。文中对仪器的結構、性能和誤差作了詳細的分析和討論。

一、引 言

云雾物理学科的研究工作在我国已經逐步开展，不少研究单位建立了高山云雾觀測站，展开了野外云雾宏观及微观物理的觀測研究工作。在研究云雾微观物理过程中，鉴于云雾滴譜、云滴浓度的觀測十分重要，因此在国外已制成电动滴譜仪进行觀測。但是，考慮到我国的具体情况，各云雾觀測站还不是全部都有电和野外觀測的流动性，所以我們設計制造了一种全机械式的三用滴譜仪。近两年来，利用这种滴譜仪在野外已取得了不少觀測資料。为了野外工作的便利，这种仪器除可以觀測滴譜外，只要換一个取样头，就可以觀測含水量和盐核。这样一物三用，就減少了仪器的数量，对觀測工作是很方便的。

三用滴譜仪是按照下列四点基本性能和要求，进行設計試制的。

(1) 滴譜取样时最高抽气风速为 20—30 米/秒，誤差为 $\pm 5\%$ 左右；含水量盐核取样时，抽气风速应为 35 米/秒左右，誤差为 $\pm 5\%$ 。

(2) 取样暴露時間应定时，而且可以調整。暴露時間由 0.1 秒到 0.5 秒，誤差为 $\pm 10\%$ 。

(3) 滴譜取样最好是連續的。

(4) 含水量取样时，取样片在气流流动方向上的位置应可以調整。

根据两年来野外工作的实际考驗和不断的改进，三用滴譜仪的結構已逐步完善，目前已基本上定型。本文下面介紹的主要三用滴譜仪机械結構的設計部分。

二、仪器的結構設計

1. 結 构 概 述

三用滴譜仪的取样是应用慣性沉淀原理，因此对仪器結構的設計，主要要求是使其能加速云雾質点达到必要的流速，以便利用其慣性，在取样片上很好的沉淀。因此，三用滴譜仪实际上就是一个微型风洞与取样机构組合而成。

仪器的结构如图 1 所示。滴谱仪是手摇式的，通常在不太费力的情况下，手摇转数为每秒一圈左右。这样的转速通过增速齿轮箱(1)，使装有风扇的输出轴达到高速旋转，因而加速了云雾气流的流速。流速的大小由“U”形管压力计(4)指示。

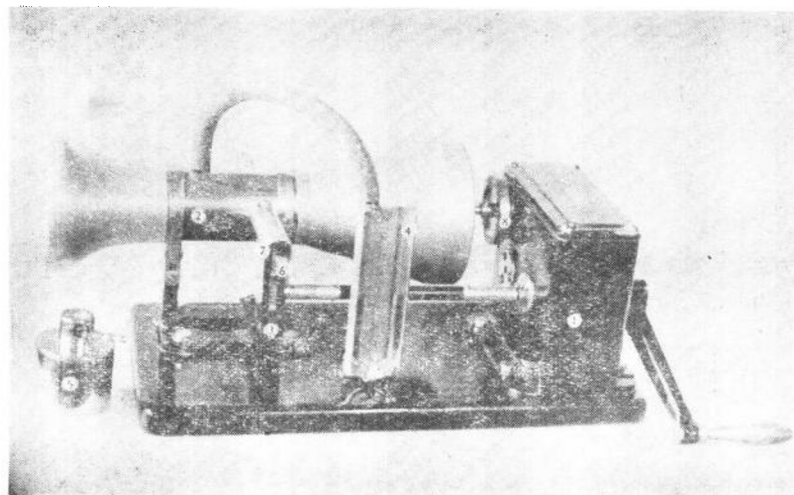


图 1. 三用 滴 谱 仪

显然，手摇转速是很不均匀的，这势必影响气流流速的稳定，为了减小这种影响，在输出的风扇轴上装了一个惰性轮(8)。

风洞洞身(2)分成三段——入口段、直段(工作段)与出口段。滴谱取样机构(3)安装在工作段的后半部，取样时只要将装着取样片的芯子(6)插入机构的导向套筒内，就可使其等速移动，并得到暴露时间一定的取样样品。为了在取样前后避免外界云雾水滴打到取样片上，造成滴谱的误差，因而在取样机构上安装了挡风筒(7)。

取含水量及盐核的样品时，只要将入口段擰下，换上观测含水量和盐核的取样头(5)，即可抽气取样。

2. 增速齿轮箱的设计

(1) 增速比的确定

使静止空气加速的能量是通过旋转着的风扇来自人体的，因此设计时应使风扇轴具有高转数。实验证明，在微型风洞结构尺寸近于本设计尺寸时，为达到必需的风速值，风扇轴转数应在 15000 转/分左右。在正常的工作过程中，为了使手摇不太费力，取手摇转速为每秒 1—1.2 转是适宜的。因此初设增速比为 200，手摇转速若为 1.2 转/秒，则风扇转数近于 15000 转/分。

齿轮箱输出轴上工作负荷不大，为设计及加工的方便，齿轮采用了相同模数、四级增速、各级增速比相同的方案。

计算：取齿轮模数 $m = 0.9$ ，

大齿轮齿数 $z_{1,3,5,7} = 60$ ，

小齿轮齿数 $z_{2,4,6,8} = 16$ ，

则大齿轮节圆直径

$$D_{1,3,5,7} = mz_{1,3,5,7} = 0.9 \times 60 = 54 \text{ 毫米},$$

小齒輪節圓直徑

$$D_{2,4,6,8} = mz_{2,4,6,8} = 0.9 \times 16 = 14.4 \text{ 毫米},$$

总的增速比

$$i = \frac{z_1}{z_2} \cdot \frac{z_3}{z_4} \cdot \frac{z_5}{z_6} \cdot \frac{z_7}{z_8} = \left(\frac{60}{16}\right)^4 = 198,$$

这个數值接近于初設數值 200.

若手搖為 1 轉/秒，則風扇軸轉數為 11880 轉/分。

(2) 增速箱結構形式

定型的滴譜儀增速箱結構是採用三軸六支承的型式。圖 2 為其傳動結構示意圖，圖 3 表示出各軸的相互位置。

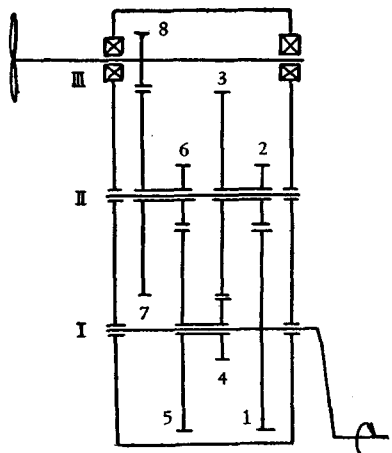


图 2.

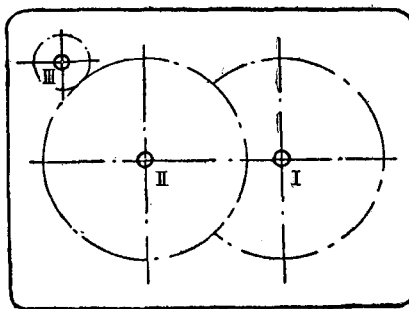


图 3.

風扇軸(軸 III) 所以置於箱體的一角，主要是根據滴譜儀取樣機構的要求，同時也有利於抽氣排風。

箱體設計為整體式，由鑄造而成。這樣容易保證加工精度，便於成批生產和齒輪箱的潤滑。

(3) 支承和潤滑

齒輪箱支承型式及潤滑方式的選取，在很大程度上是決定於各軸的轉數和齒輪的圓周速度。若取手搖轉速 $n_1 = 1.2$ 轉/秒，由計算可知，齒輪 6 與 7 的轉數為 3800 轉/分，而齒輪 8 轉數為 14300 轉/分。這樣高的轉數理應都採用滾珠軸承，但限於增速箱的結構型式，齒輪 6 與 7 是空套在軸上旋轉的，難於裝置滾珠軸承，所以只在末級齒輪軸上採用了一對滾珠軸承。

採用滾珠軸承可以減少支承磨損，增加儀器使用壽命；減少摩擦力矩，有利於提高轉速和改善手搖不均勻性；能使風扇軸有很高的對心性以保證儀器的裝配質量。

在手搖轉數為 1.2 轉/秒時，由計算可知，齒輪 5 與 6 的圓周速度近於 2.9 米/秒，而齒輪 7 與 8 的圓周速度近於 10.8 米/秒。這樣的齒輪圓周速度使增速齒輪箱有條件採用稀油飛濺的方式來潤滑，同時滾珠軸承亦可應用這種方式进行潤滑。這對於野外工作的儀

器是很方便的。

(4) 輸出軸的設計和風扇的平衡

在仪器仪表零件的设计中，一般是不进行材料的强度和变形的计算。增速齿轮箱输出风扇轴的尺寸，主要是根据仪器的结构要求而设计的。但是由于风扇轴是在很高的转速（15000 转/分）下带着风扇工作的，因此对于在这种工作条件下可能发生的现象不能不予以考虑，同时也有必要进行一些验算。

风扇装在轴端旋转工作，由于工艺上的问题，风扇完全有可能是不平衡的，因而装在轴上的风扇就偏离风扇轴轴线，尽管偏离很小，但在高转速情况下，也会产生很大的离心力。这种离心力即成了风扇轴的附加载荷，因而会使轴弯曲变形，使风扇轴旋转工作时发生摆动。轴的弯曲变形一经发生，又会进一步加大离心力，从而使变形继续增加。假若轴的弹性反作用力不能平衡附加的离心力，从理论上来说轴的变形会无限增大，直到轴断裂不能工作为止。产生这种现象时的转数称为轴的临界转数。另外，从仪器结构要求上对轴的弯曲变形也是有所限制的。在微型风洞结构尺寸一定的条件下，为使抽气效率增大，在设计风扇与出口管壁之间的径向间隙 δ 时，取值愈小愈好。但是考虑 δ 值的大小时，不能不考虑到风扇轴旋转工作时的摆动情况和仪器的装配精度（参阅图 4）。

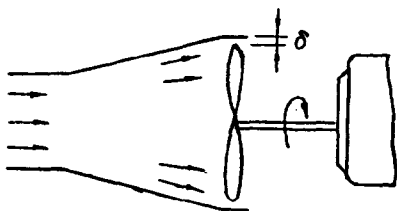


图 4.



图 5.

图 5 画出了风扇轴支承特点及集中载荷作用点的位置。若令风扇重量为 25 克，风扇轴直径为 5 毫米，风扇轴转数为 15000 转/分，支承与载荷位置的尺寸 $l = c = 42$ 毫米，风扇重心与风扇轴线偏离为 1 毫米，则对于一根碳钢轴在风扇工作时所产生的离心力近于 6 公斤。在此附加载荷下，轴的弯曲变形近于 0.5 毫米。由此看出，当风扇不平衡度（为风扇重量与其重心对风扇旋转轴线偏移的乘积）为 2.5 克厘米时，在轴高速旋转下，附加载荷所产生的弯曲变形等于径向间隙 δ 的一半。这就意味着在装配微型风洞洞身与增速箱时，若径向间隙 δ 有 0.5 毫米的偏差，则风扇高速旋转时就会发生风扇碰壁的现象，这显然是不允许的。所以风扇的设计与加工，必须注意它的结构对称和工艺上的平衡。

风扇轴的临界转数 n_{kp} 的验算，可由近似公式^[6]

$$n_{kp} \doteq 300 \sqrt{\frac{3EI}{G(l+c)c^2}}$$

算得。将前述的结构参数代入上式，则 n_{kp} 约为 20000 转/分。实际上由于风扇轴两支承间一段轴的直径大于 5 毫米，因此 n_{kp} 还会增大。但是三用滴谱仪在使用时，风扇轴的最高转数不大于 15000 转/分，所以轴不会破坏。

3. 微型风洞洞身设计

滴谱的取样是应用惯性捕获的原理，因此要求云雾气流应该具有一定的流速。微型

风洞的洞身就是制造和引导这种气流的场所。为了使所取得的样品能有较好的准确性和代表性，微型风洞的设计主要是解决云滴进口和在取样片上的沉淀(打着)问题，以及保证云雾气流的均匀稳定问题。

根据气溶胶力学的理论，某一取样片捕获云滴的捕获系数 E 是惯性系数 $K = \frac{d^2 \rho u_\infty}{18 \eta l}$

的函数(具体函数关系随取样片形状而不同)。 d 是云滴直径， ρ 是云滴密度， η 是空气粘性系数， l 是取样片的特性长度， u_∞ 是均匀气流的流速。显然， d 越大或 u_∞ 越大，则 K 越大， E 也越大。要想捕获到大小不同的全部云滴，只有使 u_∞ 为无限大，但事实上是不可能的。

为了保证取样片上能尽量多的捕获到很小的云滴，抽气速度希望越大越好(如要捕获到直径 5μ 以上的云滴，抽气速度总要在 10 米/秒以上才行)。

但是，滴谱仪还要解决一个云滴进口的问题，假若抽气速度与外界自然风速不等，则进入风洞的云滴浓度就会偏大或偏小。为了使吸入风洞的云滴浓度保持不变，应当采用薄壁直管、同速取样，然而这种方法还有较大缺点。首先，薄壁直管对外面风向的变化非常敏感，在风向与进气口轴线成一定角度取样时，云滴的进口系数将大大减小。而自然风向是很不稳定的，在几秒钟之内经常有 10° — 30° 的变化。其次，薄壁直管对气流流速的分布也有直接影响，均匀气流由于管子入口壁的阻力，在流入管内后流速分布的均匀性也就被破坏。因此为了保证捕获质量，必须正确设计微型风洞的入口段。

野外工作中自然风速常常是在 10 米/秒左右，而三用滴谱仪从考虑打着，和在手摇不太费力的情况下，抽气速度设计为 15—25 米/秒左右。为了初步解决(详细的分析可参考文献[9])进口与打着的矛盾，和降低滴谱浓度在自然风向变化时对直管入口的敏感性，我们将入口尺寸加大，成喇叭口形状。为了使进入的气流流速分布尽快的趋于均匀，喇叭口最好设计成流线形。但是实验证明^[1,3]，入口形状用圆弧线代替已足够满意(其他抛物线、椭圆曲线亦可以)，同时这对设计和制造也方便得多。

考虑到制造装配和使用上的方便，洞身设计为三段，即入口段、工作段(直管)和出口段。入口段设计如以上所述。工作段应有足够的长度，以便更好的保证气流流速在管内分布的均匀性。它的内径与取样芯子宽度之比应不小于 10:1，这样就可以忽略由于取样芯子横贯管子，而引起的气流流速的变化。出口段的扩散角可设计为 10° — 15° 左右。如扩散角小一些可以减少气流的扩散损失，但增加了出口段的长度；大些，则有相反的结果。洞身内壁应力求光滑，减少摩擦损失。段与段的连接处要平整，否则，将引起气流流速的附加不均匀性，这一点特别是对入口段与工作段的连接处更为重要。

4. 滴谱取样机构的设计

对滴谱取样机构使用性能上的要求，大致可以归纳为下列四点：

1. 能连续取样品 5—10 片。
2. 取样暴露时间范围为 0.1—0.5 秒，误差为 $\leq \pm 10\%$ 。
3. 在同一次取样中，样片各点的暴露时间相等。
4. 机构力求简单紧凑，使用方便，易于维护。

根据这四点要求，经过几种方案的分析比较，我们采用了下面的方案。

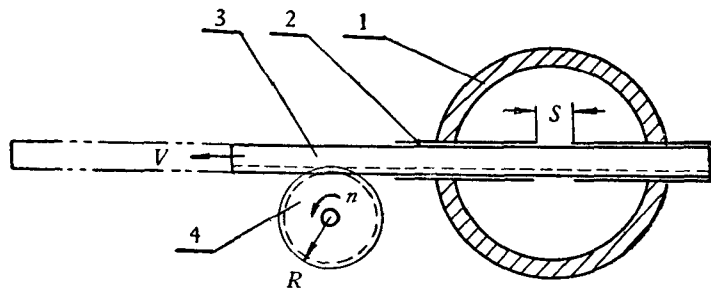


图 6.

設計原理圖如圖 6 所示：1 为工作段管子，2 为導引取樣芯子的導向套管，3 为做成齒條形式的取樣芯子，4 为齒輪。在滴譜取樣時齒輪 4 与手搖軸同速轉動，并帶動取樣芯子以一定的線速度 V 移動，并通過兩導向套管之間的間隙 S ，達到定時取樣。以 t 代表暴露時間，則有

$$t = \frac{S}{v} = \frac{S}{2\pi n R} \quad (1)$$

由暴露時間的公式可知，为了使 t 增加，可以加大 S 或減小 R 与 n 。从結構上考慮，变换齒輪大小 R 是不方便的，而改变 S 与 n 是可能的。根据这种方案設計了下面的具体结构。

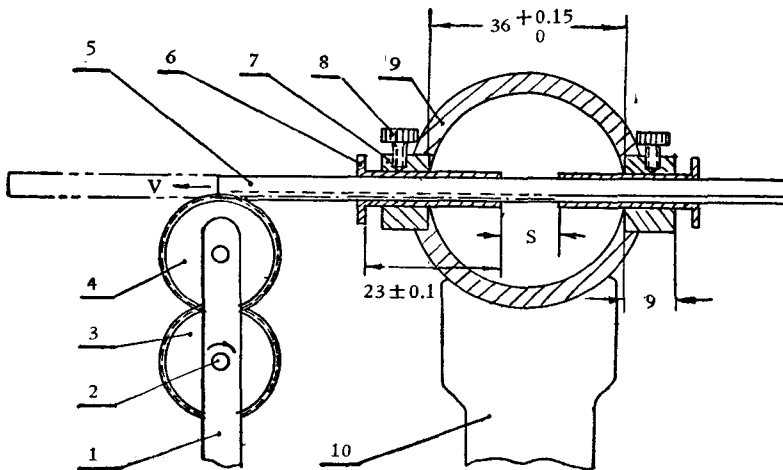


图 7.

參閱圖 7 支承 1 上裝有一對相同的齒輪，齒輪 3 固定在轉軸 2 上，而轉軸是通過一根軟軸(未划出，可參見圖 1)與手搖軸相連接的，所以齒輪 3 與手搖軸同步轉動。因为手搖軸與水平位置上的取樣芯子(5)距離較遠，故加了一個中間齒輪 4，它分別與齒輪 3 和齒條芯子 5 啟合。滴譜儀手搖工作時，取樣芯子即以 $R\omega$ 的線速度在導向套筒(6)的方形孔中等速運動。取樣芯子在迎着氣流來向的一面裝有長條的取樣片(未划出)。取樣片在芯子上的位置是這樣安排的：取樣前，齒條芯子一端與齒輪 4 接近 啓合時，取樣片恰好被

右边的导向套筒盖住，这时尽管手摇抽风，取样芯子不向前运动，取样片亦不会暴露打湿。如要取样，只要用手指轻轻将齿条芯子向左一推，使其与齿轮啮合，芯子在齿轮4的带动下即自行前进，取样片经过两导向套筒之间的空隙时取样。取样芯子向前运动到取样片恰好全部进入左面导向套筒时，由于齿条齿数中断，齿轮4开始空转，芯子不再前进，取样过程就此结束。

暴露时间的改变可以通过调整 S 来达到。导向套筒上面刻有刻度用来指示 S 的大小。固定在直管(9)上的两个套架(7)是支持导向套筒的，它上面各有一个固定螺丝(8)用来固定调好位置的导向套筒。此外，亦可直接改变手摇转数 n ，使 t 值改变。

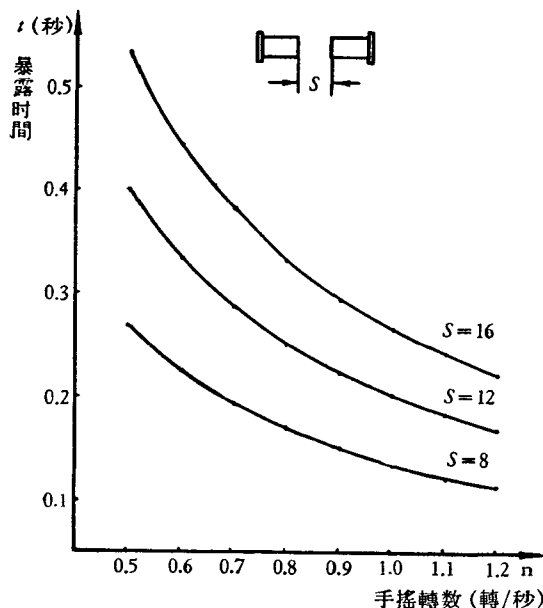


图 8. 三用滴谱仪暴露时间查定曲线

在野外工作中，暴露时间是直接根据手摇转速 n 的大小，在给定暴露时间查定曲线上查出的(图 8)。

5. 含水量取样头的设计

含水量取样头的具体结构如图 9 所示。取样片(7)用压紧螺母(8)压在取样架(3)上，取样架套在支座(5)的导孔中，并使取样片垂直于进气头(1)上直径为 6 毫米的进气孔。含水量取样仍采用惯性沉淀原理。云雾气流以 30—35 米/秒的速度经过进气孔喷射到吸水纸取样片上，于是云滴打湿吸水纸形成一个圆斑，即完成取样。取样片的沉淀效率与进气口到取样片的距离有着密切关系，所以取样架设计成可调式的。转动调节螺母

11，取样架在销子 4 的引导下可沿直线移动，从而改变进气孔与取样片的距离。

装卸取样片时，只要拧下进气头，再拧下压紧螺母即可进行

含水量取样头亦可用来取大气中盐核，这时只要将吸水纸取样片换成涂有明胶、硝酸

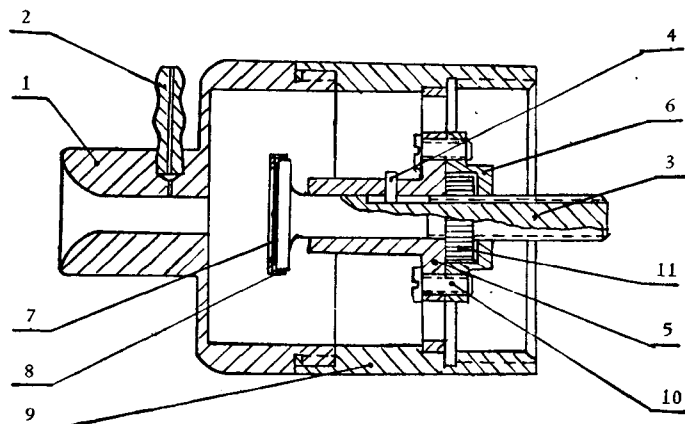


图 9.

銀和甘油溶液的玻璃片，就可象取含水量时一样的方法获取大气中的盐核。

为了保証测压嘴(2)的装配质量，减少仪器重量和缩小外廓尺寸，进气头上进气嘴設計成凸出的。不过进气嘴应足够长，以避免嘴子后面台阶对入口断面处气流流場的影响。

三、仪器性能及其检定

1. 流速测量方法

三用滴譜仪是手搖式的，因此抽气风速很难稳定，但是要求的风速测量准确度也不高，同时又为了仪器在野外使用时的方便，微型风洞采用了用最简单的“U”形管压力計指示的靜压法，测量管內抽气速度。

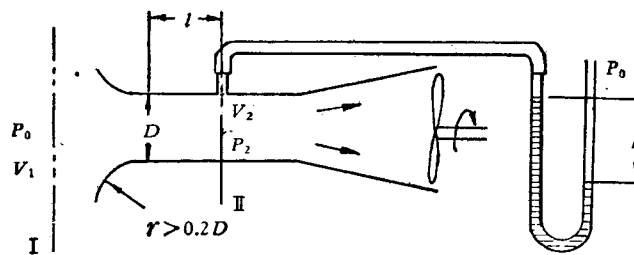


图 10.

根据伯努利方程有：

$$P_0 = P_2 + \frac{\gamma V_2^2}{2g} + H_{\text{损}},$$

或

$$V_2 = \sqrt{\frac{2}{\rho} (P_0 - P_2) - H_{\text{损}}}, \quad (2)$$

其中 P_0 ——大气压力，

$P_2 V_2$ ——管内气流的靜压力和流速，

ρ ——大气密度，

$H_{\text{损}}$ ——从入口到测压嘴間摩擦阻力損失。

为了野外使用上的方便，压力計測量液体选用純水，其比重 $\gamma_{\text{水}}$ 为 1。若忽略 $H_{\text{损}}$ 项（可以通过检定得到訂正），则有

$$V_2 = \sqrt{\frac{2}{\rho} (P_0 - P_2)} = \sqrt{\frac{2}{\rho} \gamma_{\text{水}} h} = \sqrt{\frac{2}{\rho} h}, \quad (2a)$$

其中 h ——“U”形管压力計两水柱高度差。

由上述的测量原理导出的公式，同样适用于外界有自然风，即 $V_1 \neq 0$ 的情况，因为“U”形管开口端不論自然风有无，它只能感受大气压力 P_0 ，在这种情况下“U”形管指示仍是感受 $P_0 - P_2$ 。不过为了防止自然风斜吹“U”形管开口端对压力指示造成的影响，在开口端需要加一段多孔的橡皮管保护起来。

2. 流速誤差分析及其訂正

(1) 大气密度变化的訂正

根据公式(2a)很容易由压力計讀數 h 求得管內风速值 V_2 , 但是仪器使用时并不是在标准状态下工作, 因此大气密度 ρ 值就会随着不同的海拔高度(如在高山上)及天气状况的不同而变化, 因而就产生了流速的系統誤差。为了訂正这种誤差, 并考慮到使用上的方便, 繪制了两个图表。图 11 是根据公式(3)繪制的、大气密度 ρ 随大气压力与大气温度改变的曲綫图; 图 12 是根据公式(2a)繪制的、在不同的大气密度 ρ 下由压力計讀數 h 查取抽气风速 V 的曲綫图。

大气密度与大气压力、大气温度的关系公式, 可以由气态方程式导出^[1]:

$$\rho = \frac{1}{8} \frac{P_1}{760} \frac{288}{273 + t_1} = 0.04737 \frac{P_1}{273 + t_1} \quad \left(\frac{\text{公斤} \cdot \text{秒}^2}{\text{米}^4} \right) \quad (3)$$

其中 P_1 ——工作点实測大气压力(毫米, 水銀柱高),

t_1 ——工作点实測大气温度($^{\circ}\text{C}$)。

例如: 設地面大气压力为 760 毫米高水銀柱, 温度为 15°C , 大气密度 $\rho = 0.125$ 公斤·秒 $^2/\text{米}^4$, 当压力計指示 h 为 39 毫米高水柱时, 根据公式可算出抽气速度 $V_2 = 25$ 米/秒。若工作地点設在 1500 米的高山上, 此时气压为 634 毫米高水銀柱, 温度为 5°C , 由公式(3)可算出 $\rho = 0.108$ 公斤·秒 $^2/\text{米}^4$, h 仍为 39 毫米高水柱时, 由公式(2a)可算出 $V_2 = 26.8$ 米/秒。风速相对誤差为 7%, 这已超出风速測量誤差的范围 ($\pm 5\%$)。所以大气密

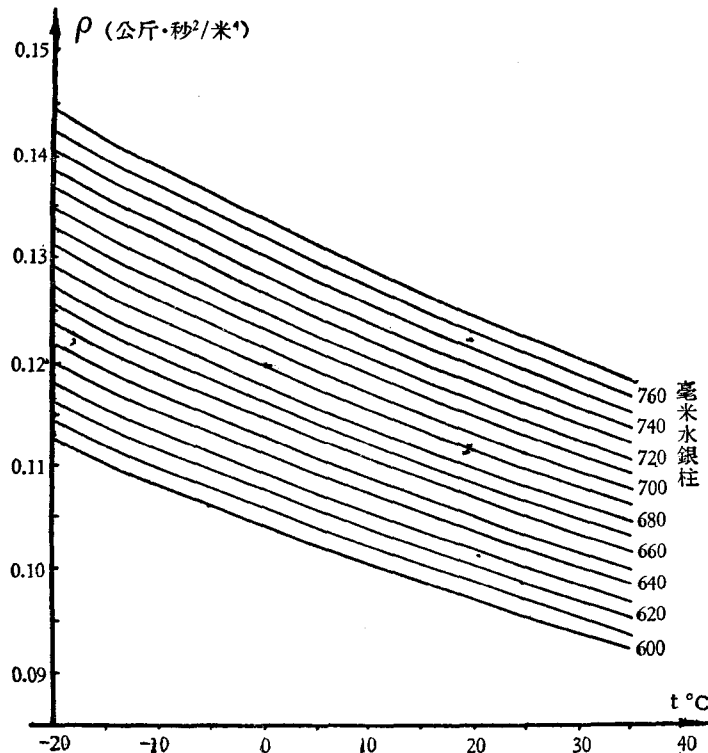


图 11. 大气压力、密度、溫度关系曲綫

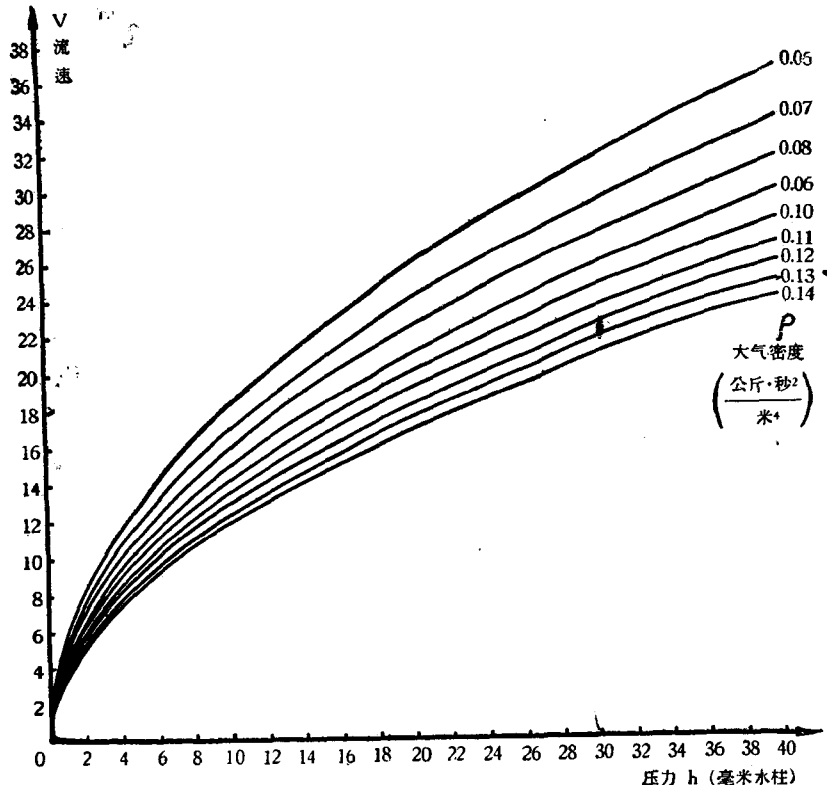


图 12. 风速查取曲线

度的变化在仪器的流速测量上不能不予以考虑。

(2) 摩擦阻力损失誤差

在公式(2a)中曾忽略一項摩擦阻力損失項 H_f ，这样算出的流速值会偏高。 H_f 由兩項組成，一項是微型风洞入口部分的摩擦阻力損失；一項是风洞直管段的摩擦損失。根据一些實驗資料^[3]可以算出，微型风洞在本設計的結構尺寸下， H_f 約為压力測量值的百分之五。显而易見，若不計 H_f 項，則风速的測量值就会造成 2.5% 的相对誤差。

另外，由于測压嘴的鉆孔及安装質量的不同，也将影响流速測量值。所以对于上述的摩擦阻力誤差和測压嘴的安装誤差，在使用仪器前必須进行流速的检定。

流速的检定工作是用微型皮托管进行的。在不同的流速下，分別讀取同一流速时的皮托管压力計讀数和仪器压力計讀数，然后根据皮托管压力計每个讀数由公式(2a)算出相应的一組流速值，即可繪出一条理論风速曲綫(或称真正风速曲綫)。根据仪器压力計讀数与由皮托管压力計讀数算出的流速值，即可繪出仪器的實驗风速曲綫。这两条曲綫就組成了三用滴譜仪流速訂正曲綫(图 13)。

(3) 溫度及重力加速度改变引起的誤差^[2]

这种誤差是液体压力計所固有的，因为用液柱高度量測压力，对于水应換算为 4°C (对于水銀应換算为 0°C)，并应取标准的重力加速度 $g = 980.665$ 厘米/秒² (相当于地理緯度 $\varphi = 45^\circ$ 时的 g)。但是讀数是在其他溫度及重力加速度下讀取的，所以形成誤差。此外，压力計刻度尺是在室温下刻度的，溫度的变化使刻度尺的分度(两相邻标记之間的

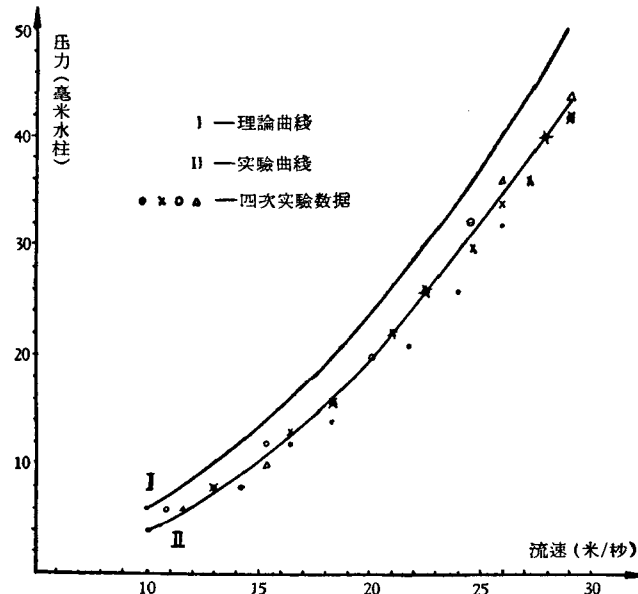


图 13. 三用滴譜仪流速訂正曲綫

間隔)改变,这也是形成讀數誤差的原因。但是它們的誤差很小,可以忽略不計。

(4) 風扇轉速不稳定所形成的誤差

因为三用滴譜仪手搖轉速不稳定,所以風扇轉速亦不稳定,因此管內氣流流速亦会忽快忽慢,致使壓力計水柱上下摆动,讀數困难,造成了誤差。手搖轉速的不稳定性随着轉速的增加而加大,这与操作者的体力及使用熟練程度有关。表 1 是多次試驗的結果。这是在手搖三至五圈的時間間隔內,“U”形管壓力計在不同水柱高度差时,压力指示的起伏量(毫米水柱)。

表 1.

压 力: (毫米,水柱高)	风 速 (米/秒)	試 驗 次 数				相 对 誤差%
		1	2	3	4	
10	14~15	0.6	0.4	0.4	0.4	±4%
20	20±0.5	1.5	1.0	1.0	1.0	±5%
30	24~25	2.0	2.0	2.0	2.0	±6%
40	28±0.5	2.4	3.0		3.0	±7.5%

試驗之所以觀測三至五圈時間間隔內的水柱起伏量,是因为仪器取一次样的時間仅需要手搖一圈多。由表 1 可以看出,手搖誤差还是較大的,而且是难以消除的。这正反映了手搖式滴譜仪的缺点。

(5) 判讀誤差

选用“U”形管壓力計作为測量裝置,由于本身准确度不高,用眼睛判讀讀數时就会产生判讀誤差。經驗証明,判讀的絕對誤差为 0.5 毫米左右。“U”形管壓力計是二次讀數,所以絕對誤差为 1 毫米。三用滴譜仪工作条件不好,判讀誤差是不可避免的,而絕對誤差为 ±1.5 毫米水柱高是可能的,所以判讀誤差定为 ±1.5 毫米水柱高。

(6) 流速的总誤差

前面已經指出，在应用公式(2)时，对大气密度 ρ 的誤差和摩擦阻力損失 H 都會进行了訂正和检定，这样它們的殘余誤差就完全可以忽略不計了（相对于压力 h 的誤差——見后）。于是公式(2a)可以写成

$$V = \sqrt{\frac{2}{\rho} h} = K \cdot h^{\frac{1}{2}},$$

其中 K 可近似地作为常数。

对于函数关系为

$$N = \frac{K a^m b^n c^p}{d^q e^r}$$

形式的相对誤差公式，有

$$E_r \leq m \left| \frac{\Delta a}{a} \right| + n \left| \frac{\Delta b}{b} \right| + p \left| \frac{\Delta c}{c} \right| + q \left| \frac{\Delta d}{d} \right| + r \left| \frac{\Delta e}{e} \right|. \quad (4)$$

因此流速的相对誤差可以写成

$$E_r^v = \frac{1}{2} \frac{\Delta h}{h} = \frac{1}{2} E_r^h, \quad (5)$$

其中 E_r^h 为压力的相对誤差。

对于压力的相对誤差，根据前几节的分析主要是手搖轉速的不稳定造成的誤差（以 E_1 表示其相对誤差）和判讀誤差（以 E_2 表其相对誤差）所組成。按照偶然誤差的扩展定理

$$E_r^h = \pm \sqrt{E_1^2 + E_2^2},$$

代入 E_1 和 E_2 的数值，即可算出在不同压力下的 E_r^h 值，再根据公式(5)就可以算出相应的 E_r^v 值。

表 2.

压 力 (毫米水柱高)	近似风速 ¹⁾ (米/秒)	手 摆 相 对 誤 差 E_1	判 讀 相 对 誤 差 E_2	压 力 相 对 誤 差 E_r^h	速 度 相 对 誤 差 E_r^v
10	13~14	±4%	±15%	±17%	±8.5%
15	15.5~17	(±4.5%) ²⁾	±10%	±11%	±5.5%
20	18~19.5	±5%	±7.5%	±9%	±4.5%
30	22.5~24	±6%	±5%	±7.8%	±3.9%
40	26~28	±7.5%	±3.8%	±8.4%	±4.2%

1) 因为大气密度的变化，所以某一压力高度就对应着一个风速范围。

2) 实驗中未取此数据，現近似地取前后兩項数值的平均值应用。

3. 滴譜取样暴露時間的誤差分析

滴譜取样暴露時間是根据公式

$$t = \frac{S}{2\pi n R}$$

計算得出的。函数 t 的誤差是由变数 S , n , R 所决定（參見图 6）。